



Baterías Solares

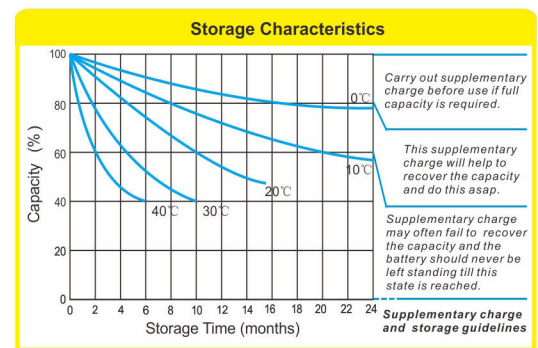
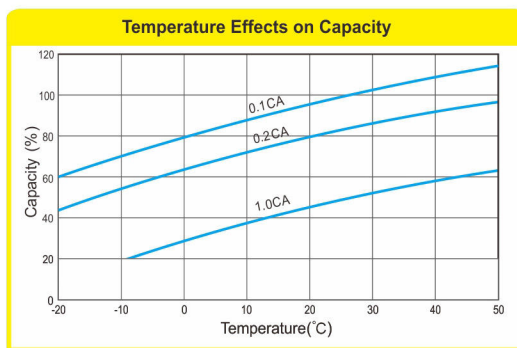
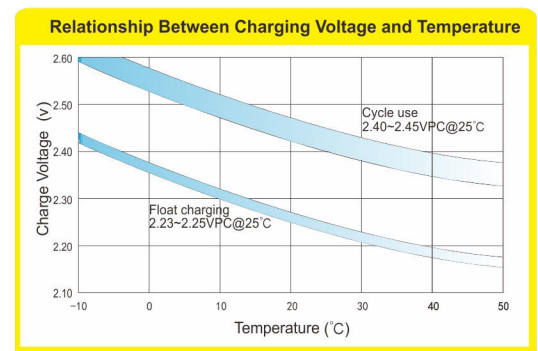
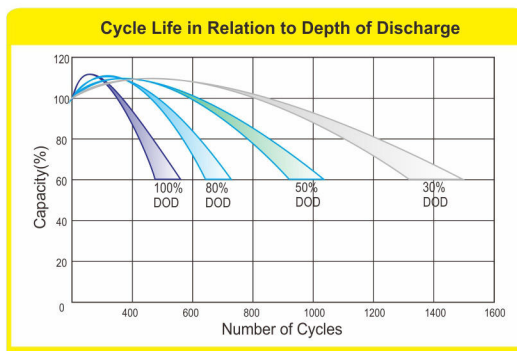
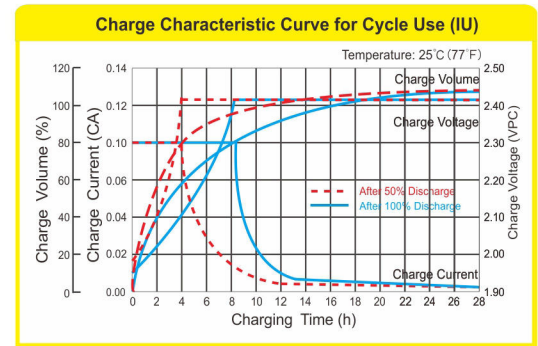
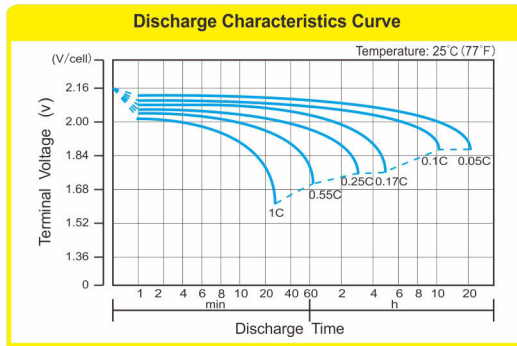
[NPS Series]

Características

- Configuración única del grupo de placas
- Diseño de ciclo profundo en gel especialmente para sistemas de energía solar o eólica.
- Separador AGM de alta calidad
- Más estaño en las placas para mejorar mucho la recarga rápida tras una descarga profunda
- Colocar plata en los platos para alargar la vida
- Funcionamiento fiable a temperaturas extremas (-40 °C a +60 °C)
- Tecnología Y&M Gel de la Universidad de Toyama en Japón
- Cumple con los estándares: JISC8704, BS6290 Parte 4 IEC61427 e IEC60896, IEC60896-21/22



Más características





Baterías Solares

[NPS Series]

Especificaciones

Int'l Model	Factory Model	Volt (V)	Capacity (Ah @ 10h)	Dimension (mm)				Approx. Weight	Terminal	
				L	W	H	T.H.		Type	Position
NPS9-12	FCS12-9	12	9	151	65	94	100	2.4	F1 / F2	D
NPS12-12	FCS12-12	12	12	152	99	96	102	3.4	F1 / F2	D
NPS18-12	FCS12-18	12	18	181	77	167	167	5.4	L1/T1 (M5X16)	B
NPS20-12	FCS12-20	12	20	181	77	167	167	6.1	L1/T1 (M5X16)	B
NPS26-12	FCS12-26AT	12	26	166	175	126	126	8.5	T3 (M6X12)	B
NPS33-12	FCS12-33AT	12	33	196	130	155	167	10.5	T3 (M6X16)	A
NPS38-12	FCS12-42AT	12	42	198	166	174	174	13.0	T3 (M6X16)	B
NPS55-12	FCS12-55AT	12	55	229	138	208	212	16.5	T3 (M6X16)	A
NPS65-12	FCS12-65AT	12	65	350	167	178	178	20.5	T3 (M6X16)	B
NPS70-12	FCS12-70BT	12	70	260	169	211	215	22.0	T3 (M6X16)	A
NPS80-12	FCS12-90BT	12	80	331	174	214	219	28.0	T4 (M8X16)	B
NPS90-12	FCS12-90AT	12	90	307	169	211	215	27.0	T3 (M6X16)	A
NPS100-12	FCS12-100LT	12	100	331	174	214	219	30.5	T4 (M8X16)	B
NPS120-12	FCS12-120AT	12	120	331	174	214	219	33.0	T4 (M8X16)	B
NPS130-12	FCS12-120BT	12	130	407	174	210	233	34.5	T5 (M8X16)	A
NPS150-12	FCS12-150AT	12	150	484	171	241	241	44.0	T4 (M8X16)	A
NPS180-12	FCS12-200AT	12	200	522	240	219	224	59.0	T5 (M8X16)	C
NPS200-12	FCS12-220AT	12	220	522	240	219	224	61.0	T5 (M8X16)	C
NPS250-12	FCS12-250AT	12	250	520	268	220	225	70.5	T5 (M8X16)	C
NPS130-6	FCS6-130AT	6	130	260	180	247	251	20.8	T5 (M8X16)	F
NPS200-6	FCS6-180AT	6	180	260	180	247	251	28.2	T5 (M8X16)	F
NPS200-6	FCS6-180BT	6	180	306	168	220	225	27.6	T5 (M8X16)	F
NPS225-6	FCS6-200AT	6	200	260	180	247	251	30.3	T5 (M8X16)	F
NPS220-6	FCS6-200BT	6	200	323	178	224	229	29.8	T5 (M8X16)	E
NPS100-2	GFMS-120	2	100	171	72	205	230	6.5	T5 (M8X16)	G
NPS200-2	GFMS-200B	2	200	173	111	329	365	13.4	T5 (M8X16)	G
NPS300-2	GFMS-350	2	300	171	151	330	365	20.5	T5 (M8X16)	G
NPS400-2	GFMS-425	2	400	211	176	329	367	26.8	T5 (M8X16)	H
NPS500-2	GFMS-500A	2	500	241	171	349	368	31.0	T5 (M8X16)	H
NPS600-2	GFMS-600	2	600	301	175	331	366	38.0	T5 (M8X16)	H
NPS800-2	GFMS-800	2	800	410	176	330	365	52.0	T5 (M8X16)	I
NPS1000-2	GFMS-1000A	2	1000	472	172	338	355	62.0	T5 (M8X16)	I
NPS1200-2	GFMS-1200A	2	1200	472	172	338	355	67.0	T5 (M8X16)	I
NPS1500-2	GFMS-1600	2	1500	401	351	342	378	99.0	T5 (M8X16)	J
NPS2000-2	GFMS-2000	2	2000	491	351	343	383	130.0	T5 (M8X16)	K
NPS2500-2	GFMS-2500	2	2500	712	353	341	382	180.0	T5 (M8X16)	K
NPS3000-2	GFMS-3000	2	3000	712	353	341	382	190.0	T5 (M8X16)	K

Construcción

Placa positiva	Placa negativa	Contenedor y tapa	Válvula de seguridad	Terminal	Separador	Electrolito	Tecnología de sellado
Rejilla gruesa y alta de Sn y baja de Ca con pasta especial	Rejilla equilibrada de Pb-Ca para mejorar la eficiencia de recombinación	ABS (UL94-V0) opcional	Flame Si-Rubber y resistencia al envejecimiento	Inserto de cobre hembra DT (par: 10-12N.m)	Separador AGM avanzado para el diseño de celdas de alta presión	Ácido sulfúrico diluido de alta pureza con gel de sílica pirógena	Sello de resina epoxi de dos capas